

Министерство образования и науки РФ

Саратовский государственный технический университет имени Гагарина Ю.А.
Кафедра «Радиоэлектроника и телекоммуникации»

ТЕХНИЧЕСКАЯ ЭЛЕКТРОДИНАМИКА

Курс лекций для специальностей 210700.62 (БИКТС),
220400.62 (БУПТС), 210601.65 (сРСК)

Саратов 2014

Основная литература

- Фальковский О.И. Техническая электродинамика. – С.Пб.: Лань, 2009.
- Нефедов Е.И. Техническая электродинамика.- М.: Академия, 2008.
- Григорьев А.Д. Электродинамика и микроволновая техника. – С.Пб.: Лань, 2007.
- Пегель И.В. Электродинамика сверхвысоких частот. – Изд-во Томского политехнического университета, 2009.
- Неганов В.А., Осипов О.В., Раевский С.Б., Яровой Г.П. Электродинамика и распространение радиоволн. - М.: Радиотехника, 2009.
- Устройства поляризации радиоволн в терагерцевом диапазоне частот. Новые принципы построения. / Под ред. А.С. Якунина. – М.: Радиотехника, 2012.
- Иларионов Ю.А., Раевский А.С., Раевский С.Б., Седаков А.Ю. Устройства СВЧ и КВЧ-диапазонов. Методы расчета. Алгоритмы. Технологии изготовления. – М.: Радиотехника, 2013.
- Гринев А.Ю. Численные методы решения прикладных задач электродинамики – М.: Радиотехника, 2013.
- Морозов А.В., Нырцов А.Н., Шмаков Н.П. Электродинамика и распространение радиоволн. – М.: Радиотехника, 2007.
- Габриэлян Д.Д., Заргано Г.Ф., Звездина М.Ю., и др. Вычислительные методы прикладной электродинамики - М.: Радиотехника, 2009.
- Ушаков Н.М., Козина О.Н., Коломейцев В.А., Комаров В.В. Волоконные и интегральные оптические устройства для систем связи.- Саратов: СГТУ, 2006.
- Вендик И.Б., Вендик О.Г. Метаматериалы и их применение в технике сверхвысоких частот (обзор) // Журнал технической физики, 2013, т.83, вып.1, с. 3-28.

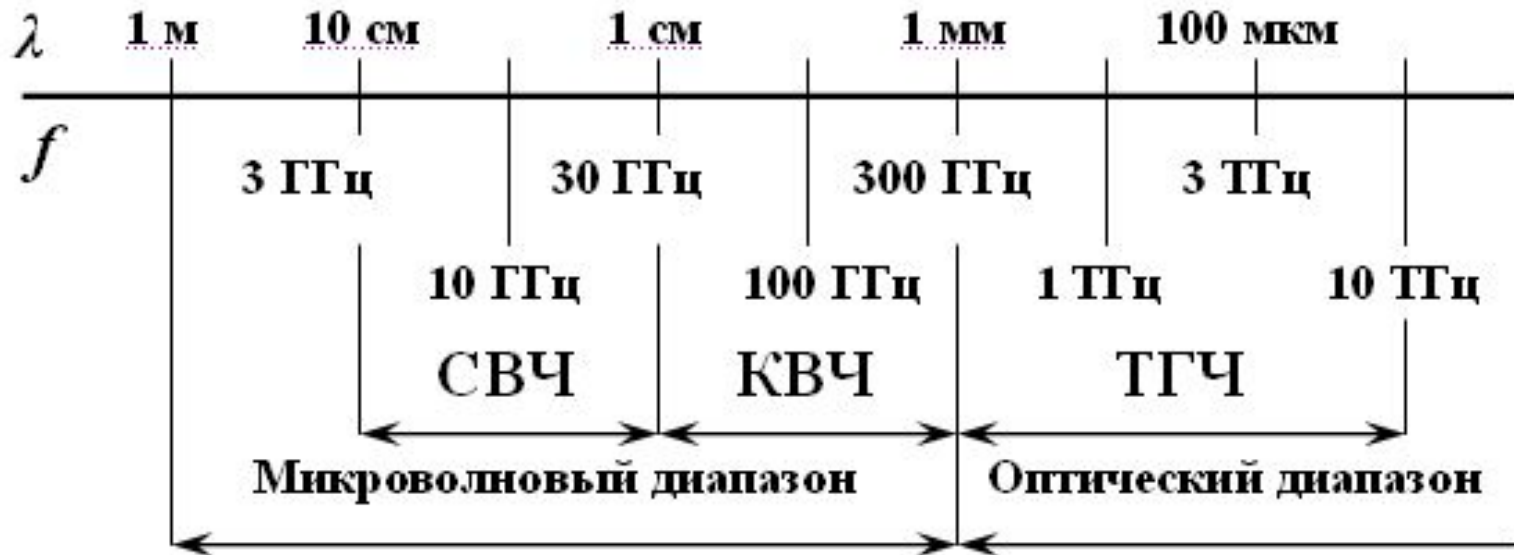
Вспомогательная литература

- Вольман В.И., Пименов Ю.В., Муравцов А.Д. Техническая электродинамика. – М.: Радио и связь, 2000.
- Семенов Н.А. Техническая электродинамика. – М.: Связь, 1973.
- Синтез сверхширокополосных микроволновых структур / Под ред. А.П. Креницкого и В.П. Мещанова, М.: Радио и связь, 2005.
- Мещанов В. П., Тупикин В.Д., Чернышев С.Л. Коаксиальные пассивные устройства / Под ред. В. П. Мещанова. Саратов.: Изд-во Саратов. ун-та, 1993. 416 с.
- Баскаков С.И. Электродинамика и распространение радиоволн. – М.: Высшая школа, 1992.
- Шестопалов В.П., Сиренко Ю.К. Динамическая теория решеток. – Киев: Наукова Думка, 1989.

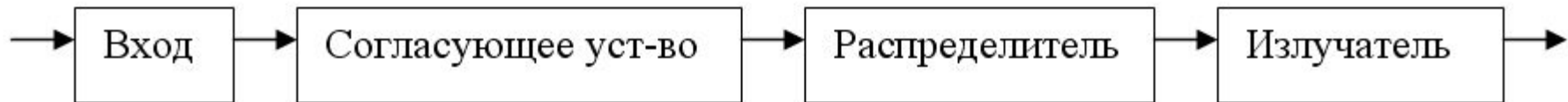
Зарубежная литература

- Pozar D.M. Microwave Engineering. 4th Edition. NY: Wiley&Sons, 2012.
- Belov L.A., Smolskiy S.M., Kochemasov V.N. Handbook of RF, microwave, and millimeter wave components. – London: Artech House, 2012.
- The Terahertz Wave eBook. Technical Overview. Zomega Terahertz Corporation. 2012.
- Handbook of terahertz technology for imaging, sensing and communications / Edited by Daryoosh Saeedkia, Cambridge: Woodhead Publishing, 2013.

Основные теоретические положения



Классификация антенно-фидерных устройств (АФУ)



- Малоразмерные антенны ($l \leq \lambda$) для частотного диапазона 10 кГц – 1 ГГц. К ним относятся одиночные вибраторные и щелевые излучатели, микрополосковые антенны, рамочные антенны.
- Антенны бегущей волны с размерами $\lambda \div 10\lambda$ для диапазона частот 3 МГц – 10 ГГц. Это спиральные, диэлектрические, импедансные и директорные антенны.
- Антенные решетки размерами $\lambda \div 100\lambda$ для частот 3 МГц – 30 ГГц. Они состоят из большого числа отдельных излучателей. Независимая регулировка фаз возбуждения каждого элемента антенной решетки обеспечивает возможность электрического управления диаграммой направленности.
- Апертурные антенны с размерами $\lambda \div 1000\lambda$ для диапазона частот 100 МГц – 100 ГГц и выше. Наиболее распространены зеркальные, рупорные и линзовые антенны.

Электромагнитные волны в АФУ

$$\operatorname{rot} \vec{H} = j\omega \varepsilon_0 \varepsilon \vec{E} + \vec{J}_{cm} \quad (1)$$

$$\operatorname{rot} \vec{E} = -j\omega \mu_0 \mu \vec{H} \quad (2)$$

$$\frac{\partial \dot{E}_z}{\partial y} + j\gamma \dot{E}_y = -j\omega \mu_0 \mu \dot{H}_x \quad (3)$$

$$\frac{\partial \dot{H}_z}{\partial y} + j\gamma \dot{H}_y = j\omega \varepsilon_0 \varepsilon \dot{E}_x \quad (4)$$

$$j\gamma \dot{E}_x + \frac{\partial \dot{E}_z}{\partial x} = j\omega \mu_0 \mu \dot{H}_y \quad (5)$$

$$j\gamma \dot{H}_x + \frac{\partial \dot{H}_z}{\partial x} = -j\omega \varepsilon_0 \varepsilon \dot{E}_y \quad (6)$$

$$\frac{\partial \dot{E}_y}{\partial x} - \frac{\partial \dot{E}_x}{\partial y} = -j\omega \mu_0 \mu \dot{H}_z \quad (7)$$

$$\frac{\partial \dot{H}_y}{\partial x} - \frac{\partial \dot{H}_x}{\partial y} = j\omega \varepsilon_0 \varepsilon \dot{E}_z \quad (8)$$

$$\dot{E}_x = -j \frac{\gamma}{\chi^2} \left(\frac{\partial \dot{E}_z}{\partial x} + \frac{\omega \mu_0 \mu}{\gamma} \frac{\partial \dot{H}_z}{\partial y} \right) \quad (9)$$

$$\dot{E}_y = -j \frac{\gamma}{\chi^2} \left(\frac{\partial \dot{E}_z}{\partial y} - \frac{\omega \mu_0 \mu}{\gamma} \frac{\partial \dot{H}_z}{\partial x} \right) \quad (10)$$

$$\dot{H}_x = -j \frac{\gamma}{\chi^2} \left(\frac{\partial \dot{H}_z}{\partial x} - \frac{\omega \varepsilon_0 \varepsilon}{\gamma} \frac{\partial \dot{E}_z}{\partial y} \right) \quad (11)$$

$$\dot{H}_y = -j \frac{\gamma}{\chi^2} \left(\frac{\partial \dot{H}_z}{\partial y} + \frac{\omega \varepsilon_0 \varepsilon}{\gamma} \frac{\partial \dot{E}_z}{\partial x} \right) \quad (12)$$

$$\chi^2 = \kappa^2 - \gamma^2$$

Электромагнитные волны в АФУ

В более общем виде для $\dot{E}_t = \dot{E}_x + \dot{E}_y$ и $\dot{H}_t = \dot{H}_x + \dot{H}_y$ можно записать:

$$\dot{E}_t = -j \frac{\gamma}{\chi^2} \nabla_{\perp} \dot{E}_z - \frac{j\omega\mu_0\mu}{\chi^2} \text{rot}_{\perp} \dot{H}_z \quad (13) \quad \dot{H}_t = \frac{j\omega\varepsilon_0\varepsilon}{\chi^2} \text{rot}_{\perp} \dot{E}_z - j \frac{\gamma}{\chi^2} \nabla_{\perp} \dot{H}_z \quad (14)$$

$$\dot{E}_r = -j \frac{\gamma}{\chi^2} \left(\frac{\partial \dot{E}_z}{\partial r} + \frac{\omega\mu_0\mu}{\gamma} \frac{\partial \dot{H}_z}{\partial \varphi} \right) \quad (15) \quad \dot{E}_{\varphi} = -j \frac{\gamma}{\chi^2} \left(\frac{1}{r} \frac{\partial \dot{E}_z}{\partial \varphi} - \frac{\omega\mu_0\mu}{\gamma} \frac{\partial \dot{H}_z}{\partial r} \right) \quad (16)$$

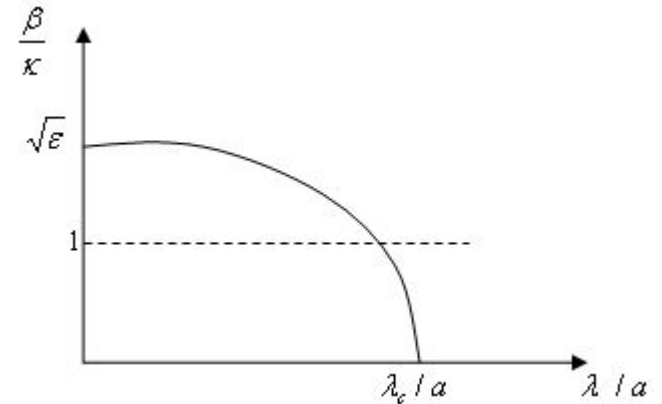
$$\dot{H}_r = -j \frac{\gamma}{\chi^2} \left(\frac{\partial \dot{H}_z}{\partial r} - \frac{\omega\varepsilon_0\varepsilon}{\gamma} \frac{1}{r} \frac{\partial \dot{E}_z}{\partial \varphi} \right) \quad (17) \quad \dot{H}_{\varphi} = -j \frac{\gamma}{\chi^2} \left(\frac{1}{r} \frac{\partial \dot{H}_z}{\partial \varphi} - \frac{\omega\varepsilon_0\varepsilon}{\gamma} \frac{\partial \dot{E}_z}{\partial r} \right) \quad (18)$$

Тип волны	Характеристики поля	ЛП	Примечания
Н (TE) Е (TM)	$\dot{E}_z = 0$ $H_z = 0$	ПрВ, ЦВ, ВСС	С однородным изотропным заполнением; сечение односвязное.
ТЕМ	$E_z = H_z = 0$	Коаксиальная линия, Связанные линии	С однородным изотропным заполнением; сечение многосвязное.
Квази-ТЕМ	$E_z \ll E_{\perp} $; $H_z \ll H_{\perp} $	МПЛ, коаксиальная линия с частичным диэл. заполнением.	С неоднородным заполнением; сечение многосвязное.
LE LM	$H_y = 0$ $E_y = 0$	ПрВ с диэл. вставкой в Е- и Н-плоскости	Прямоугольное сечение, слоистое заполнение.
HE EH	$E_z = 0, \gamma = 0$ $H_z = 0, \gamma = 0$	Частично заполненные волноводы, ЩЛ.	Одно- и многосвязное сечение, неоднородное заполнение.

Характеристики линий передачи

$$\frac{\beta}{\kappa} = \sqrt{\varepsilon} \sqrt{1 - \left(\frac{\lambda}{\lambda_c}\right)^2} \quad (19) \quad Z_x \cong 377(\mu / \varepsilon)^{0,5}$$

$$Z_B [\text{ОМ}] = U/I = 2P/I^2 = U^2/2P$$



$$(\varepsilon = \varepsilon' - j\varepsilon'', \text{ пусть } \mu = \mu' \neq 0, \mu'' = 0)$$

$$\text{Re}(\gamma) = \beta = \omega(0.5\mu_0\mu'\varepsilon_0\varepsilon')^{0.5} [(1 + (\text{tg } \delta_e)^2)^{0.5} + 1]^{0.5} \quad (20)$$

$$\text{Im}(\gamma) = \alpha = \omega(0.5\mu_0\mu'\varepsilon_0\varepsilon')^{0.5} [(1 + (\text{tg } \delta_e)^2)^{0.5} - 1]^{0.5} \quad (21)$$

$$\alpha = \alpha_M + \alpha_D, \quad \alpha_M = 4.34P_m/P, \quad (22) \quad P_m = 0,5 \int_L R_S |H_t|^2 dl \quad (23)$$

$$R_S \cong 4.49 \cdot 10^{-3} \sqrt{r_q \mu / \lambda} \quad (24) \quad r_q = \sigma_{Cu} / \sigma_q, \text{ где } \sigma_{Cu} = 5.9 \cdot 10^7 \text{ СМ/М,}$$

Решения неоднородных уравнений ЭМ поля

$$\dot{E} = -grad\dot{\phi}_3 - j\omega\dot{A}_3 \quad (25)$$

$$\dot{H} = \frac{1}{\mu_0\dot{\mu}} rot\dot{A}_3 \quad (26)$$

\dot{A}_3 -электрический векторный потенциал

$\dot{\phi}_3$ -электрический скалярный потенциал

$$div\dot{A}_3 + j\omega\varepsilon_0\dot{\varepsilon}\mu_0\dot{\mu}\dot{\phi}_3 = 0 \quad (27)$$

$$\frac{1}{\mu_0\dot{\mu}} rotrot\dot{A}_3 + j\omega\varepsilon_0\dot{\varepsilon}grad\dot{\phi}_3 + j\omega\varepsilon_0\dot{\varepsilon}j\omega\dot{A}_3 = \dot{J}_{cm} \quad (28)$$

$$grad(div\dot{A}_3 + j\omega\varepsilon_0\dot{\varepsilon}\mu_0\dot{\mu}\dot{\phi}_3) - \nabla^2\dot{A}_3 + \gamma^2\dot{A}_3 = \mu_0\dot{\mu}\dot{J}_{cm} \quad (29)$$

$$\nabla^2\dot{A}_3 - \gamma^2\dot{A}_3 = -\mu_0\dot{\mu}\dot{J}_{cm} \quad (30)$$

$$\dot{E} = \frac{1}{j\omega\varepsilon_0\dot{\varepsilon}\mu_0\dot{\mu}} (graddiv\dot{A}_3 - \gamma^2\dot{A}_3) \quad (31)$$

$$\dot{E}_t = 0; \quad \partial\dot{E}_n / \partial n = 0, \quad (32)$$

$$\dot{E}_t^i = \dot{E}_t^{i+1} \quad (33)$$

$$\dot{E}_{1t} = Z_s [n, \dot{H}_1] \quad (34)$$

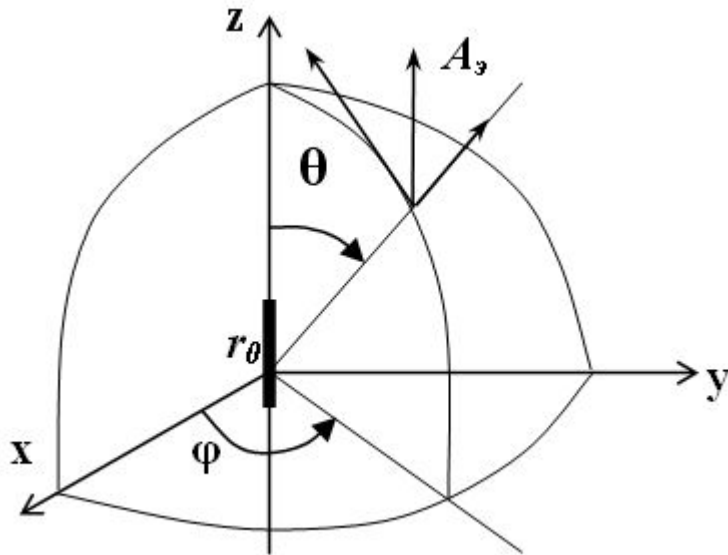
$$Re(Z_s) = R_s = (\sigma_e D_p)^{-1}$$

$$D_p = \frac{\lambda_0}{\pi \sqrt{2\varepsilon'(1 + tg^2\delta)^{0.5} - 1}}$$

Решения неоднородных уравнений ЭМ поля

$$\nabla^2 \mathcal{U} + \beta^2 \mathcal{U} = I \quad (35)$$

$$\nabla^2 \mathcal{G}(r, r_0) + \beta^2 \mathcal{G}(r, r_0) = \delta(r - r_0) \quad (36)$$



$$\mathcal{G}(r, r_0) = -\frac{\exp(-j\beta|r - r_0|)}{4\pi|r - r_0|} \quad (37)$$

$$A_s(r) = \frac{\mu_0 I}{4\pi} \int_V \mathcal{J}_{cm}(r_0) \frac{\exp(-j\beta|r - r_0|)}{|r - r_0|} dx_0 dy_0 dz_0 \quad (38)$$

$$\mathcal{J}_{cm} = I \delta(x_0) \delta(y_0) i_z \quad (39)$$

$$\dot{E}_r = \frac{1}{j\omega\epsilon_0} \left[\frac{1}{r \sin \theta} \frac{\partial}{\partial \theta} \sin \theta \dot{H}_\varphi \right] = \frac{j\beta}{2\pi\omega\epsilon_0 r^2} \cos \theta \exp(-j\beta r) \quad (40)$$

$$\dot{E}_\theta = -\frac{1}{j\omega\epsilon_0 r} \frac{\partial}{\partial r} (r \dot{H}_\varphi) = \frac{j\beta^2}{4\pi\omega\epsilon_0} \sin \theta \frac{\exp(-j\beta r)}{r} \quad (41)$$

$$\dot{H}_\varphi = \frac{j\beta}{4\pi} \sin \theta \frac{\exp(-j\beta r)}{r} \quad (42)$$

Поляризация электромагнитных волн

$$\vec{E} = E_x(z, \tau) + E_y(z, \tau) + E_z(z, \tau) \quad (1)$$

$$\vec{H} = H_x(z, \tau) + H_y(z, \tau) + H_z(z, \tau) \quad (2)$$

$$v(z, \tau) = V \cos(\omega\tau - kz)$$

$$\nabla^2 \begin{Bmatrix} \vec{E} \\ \vec{H} \end{Bmatrix} + (k^2 - \gamma^2) \begin{Bmatrix} \vec{E} \\ \vec{H} \end{Bmatrix} = 0 \quad (3)$$

$$E_x(z) = E_m \exp(-j\gamma z) \quad (4)$$

$$H_y(z) = Z_0^{-1} E_x \exp(-j\gamma z) \quad (5)$$

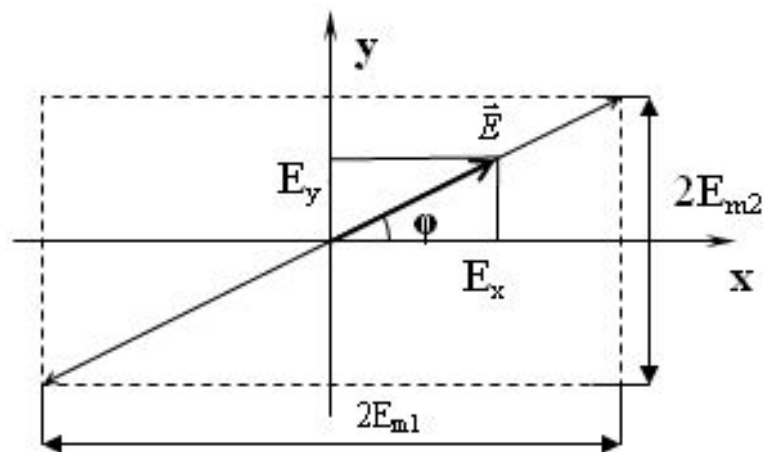


Рис. 1.

$$E_x = E_{m1} \cos(\omega\tau) \quad (6)$$

$$E_y = E_{m2} \cos(\omega\tau)$$

$$\text{tg}(\varphi) = E_{m2} / E_{m1}$$

$$E_x = E_{m1} \cos(\omega\tau) \quad (7)$$

$$E_y = E_{m2} \sin(\omega\tau)$$

Поляризация электромагнитных волн

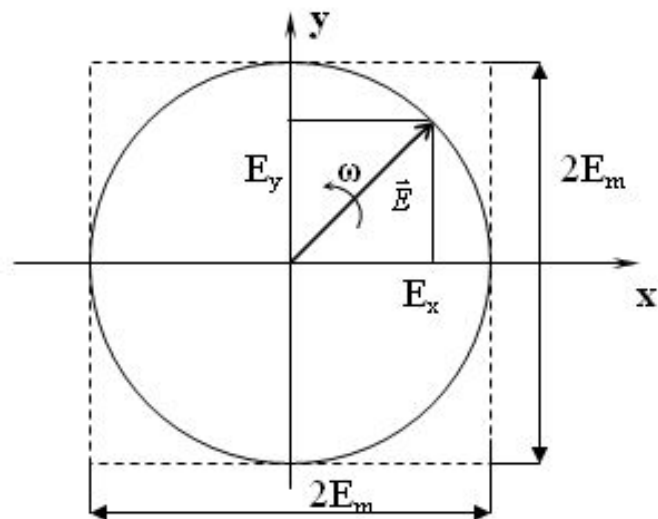


Рис.2

$$\left(\frac{E_x}{E_m}\right)^2 + \left(\frac{E_y}{E_m}\right)^2 = 1 \quad (8)$$

$$E_x = E_{m1} \cos(\omega\tau) \quad E_y = -E_{m2} \sin(\omega\tau)$$

$$\left(\frac{E_x}{E_{m1}}\right)^2 + \left(\frac{E_y}{E_{m2}}\right)^2 = 1 \quad (9)$$

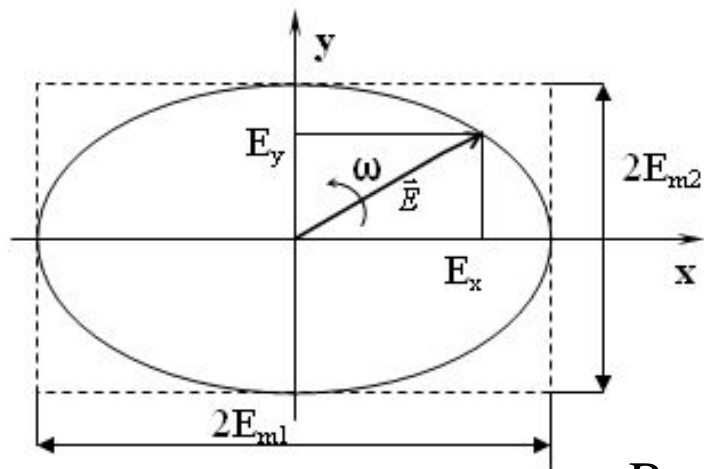


Рис.3

$$P = Z_0^{-1} (E_x^2 + E_y^2) \quad (10)$$

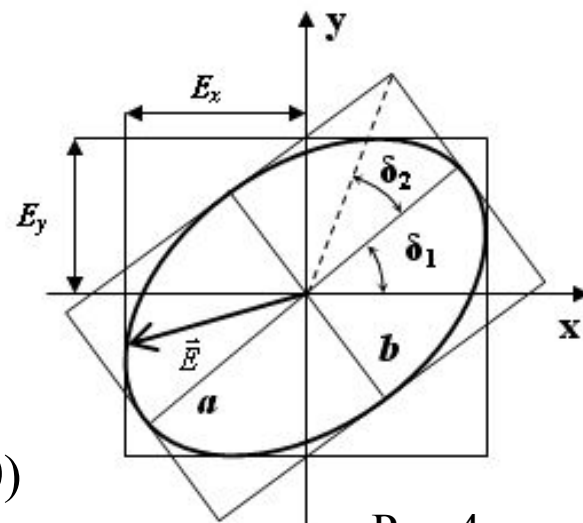


Рис.4

Поляризация электромагнитных волн

$$S_1 = \frac{(E_x^2 - E_y^2)}{Z_0 P} \quad (11) \quad S_2 = \frac{2E_x E_y \cos \psi}{Z_0 P} \quad (12) \quad S_3 = \frac{2E_x E_y \sin \psi}{Z_0 P} \quad (13)$$

$\psi = \varphi_x - \varphi_y$ - разность фаз ортогональных составляющих ($0 \leq \psi < 2\pi$).

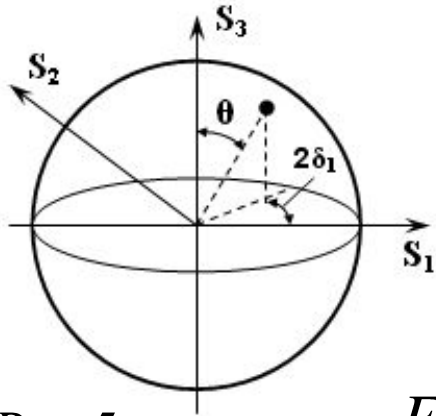
$$\rho = 0.5(S_1^2 + S_2^2 + S_3^2) \quad (14)$$

$$S_1 = \rho \cos(2\delta_1) \cos(2\delta_2) \quad (15) \quad S_2 = \rho \sin(2\delta_1) \cos(2\delta_2) \quad (16)$$

$$S_3 = \rho \sin(2\delta_2) \quad (17)$$

Эллипс поляризации (рис.4) характеризуется также углом эллиптичности: $\alpha_e = \arctg(b/a)$, где a и b – большая и малая полуоси эллипса. Иногда этот параметр вводят, как $\alpha_e = \operatorname{arth}(b/a)$. Значению $\alpha_e = 0$ соответствует линейно поляризованная волна, а $\alpha_e = \pm\infty$ - волна с круговой поляризацией.

Поляризация электромагнитных волн



$$e = \sqrt{1 - \operatorname{tg}^2(2\delta_2)} \quad (18) \quad \theta = \frac{\pi}{2} - 2\delta_2 \quad (19)$$

$$S_1^2 + S_2^2 + S_3^2 = P^2 \quad (20)$$

Рис.5

$$E_x(\bar{r}) = E_{xm} \exp(j\phi_0) \quad (21)$$

$$E_y(\bar{r}) = E_{ym} \exp(j\phi_0) \exp(2j\delta_1)$$

$$K(\hat{b}_0) = \begin{bmatrix} E_{xm}^2 & E_{xm} E_{ym} \exp(2j\delta_1) \\ E_{xm} E_{ym} \exp(-2j\delta_1) & E_{ym}^2 \end{bmatrix} \quad (22)$$

$$K(\hat{b}) = \begin{bmatrix} E_{1m}^2 & E_{1m} E_{2m} \exp(2j\delta_1) \\ E_{1m} E_{2m} \exp(-2j\delta_1) & E_{2m}^2 \end{bmatrix} \quad (23)$$

Поляризация электромагнитных волн

$$E(\vec{r}) = \begin{bmatrix} E_{1m} \\ E_{2m} \exp(2j\delta_1) \end{bmatrix} \exp(j\phi_0) \quad (24) \quad E_1 = x_1 + jx_2; \quad E_2 = x_3 + jx_4. \quad (25)$$

$$E_1 = [E_{1x}, E_{1y}]^T; \quad E_2 = [E_{2x}, E_{2y}]^T. \quad (26) \quad E_N = [x_1 \ x_2 \ x_3 \ x_4]^T \quad (27)$$

Условием формирования линейно поляризованной волны является параллельность векторов E_1 и E_2 : $E_2 = nE_1$, где n – произвольное действительное число. Для линейной поляризации под углом 45° $n = 1$.

$$\xi = n(E \times E^*) \quad (28)$$

$$G(\hat{b}_0) = \frac{E_{2m}}{E_{1m}} \exp(2j\delta_1) = \exp(2j\delta_1) \operatorname{tg}(\delta_2) \quad (29)$$

Особенности взаимодействия поляризованных электромагнитных волн с различными объектами

$$\underline{\underline{\epsilon}} = \epsilon' - j\epsilon'' \qquad \underline{\underline{\mu}} = \mu' - j\mu'' \qquad \sigma_e = \omega\epsilon_0\epsilon''$$

$$P = dp/dv$$

$$P = \epsilon_0 X_e \overset{\Delta}{E}$$

$$P = \mu_0 X_m \overset{\Delta}{H}$$

Виды поляризации диэлектриков: электронная; ионная; дипольно-релаксационная. (ориентационная), ионно-релаксационная, электронно-релаксационная, упруго-дипольная, поляризация ядерного смещения, спонтанная, миграционная.

$$q_v = \omega\epsilon_0\epsilon''E^2 \quad (1) \quad \overset{\Delta}{D} = \hat{\epsilon}\overset{\Delta}{E} + \overset{\Delta}{\xi}H; \quad \overset{\Delta}{B} = \eta\overset{\Delta}{E} + \hat{\mu}\overset{\Delta}{H} \quad (2)$$

$$\overset{\Delta}{D} = \epsilon_r\epsilon_0\overset{\Delta}{E} + c^{-1}(\xi' - j\xi'')H; \quad (3) \quad \overset{\Delta}{B} = c^{-1}(\xi' + j\xi'')H \quad (4)$$

ξ' - параметр невязимности Теллегена; ξ'' - параметр киральности

Процессы отражения и преломления ЭМ волн на границе раздела сред

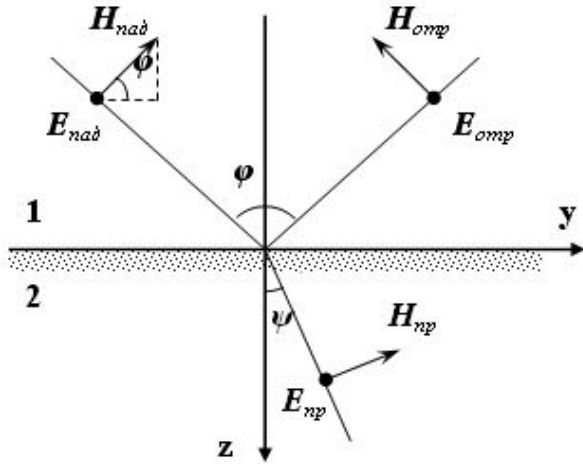


Рис.1

$$R_{\perp} = \frac{E_{omp}}{E_{nad}} \quad (4) \quad T_{\perp} = \frac{E_{np}}{E_{nad}} \quad (5)$$

$$R_{\perp} = \frac{Z_{c2} \cos \varphi - Z_{c1} \cos \psi}{Z_{c2} \cos \varphi + Z_{c1} \cos \psi} \quad (6) \quad T_{\perp} = \frac{2Z_{c2} \cos \varphi}{Z_{c2} \cos \varphi + Z_{c1} \cos \psi} \quad (7)$$

$$R_{\perp} = \frac{\cos \varphi - \sqrt{\varepsilon' - \sin^2 \varphi}}{\cos \varphi + \sqrt{\varepsilon' - \sin^2 \varphi}} \quad (8) \quad T_{\perp} = \frac{2 \cos \varphi}{\cos \varphi + \sqrt{\varepsilon' - \sin^2 \varphi}} \quad (9)$$

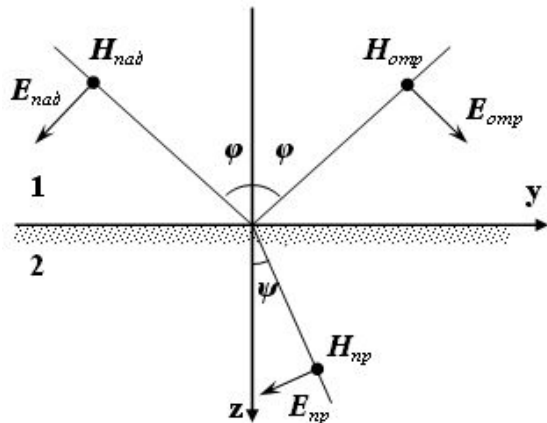
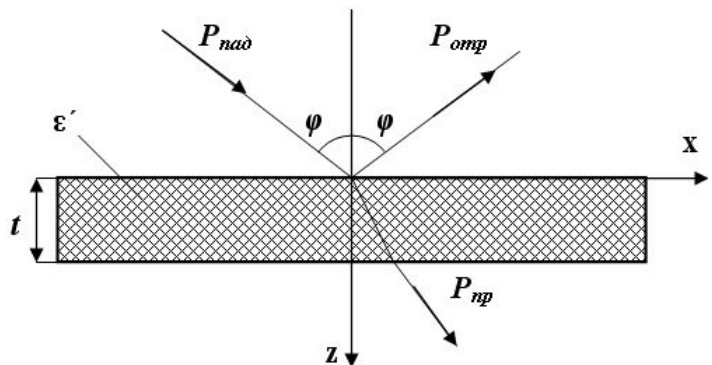


Рис.2

$$R_{\parallel} = \frac{Z_{c2} \cos \psi - Z_{c1} \cos \varphi}{Z_{c2} \cos \psi + Z_{c1} \cos \varphi} \quad (10) \quad T_{\parallel} = \frac{2Z_{c2} \cos \varphi}{Z_{c2} \cos \psi + Z_{c1} \cos \varphi} \quad (11)$$

$$R_{\parallel} = \frac{\sqrt{\varepsilon' - \sin^2 \varphi} - \varepsilon' \cos \varphi}{\sqrt{\varepsilon' - \sin^2 \varphi} + \varepsilon' \cos \varphi} \quad (12) \quad T_{\parallel} = \frac{2\sqrt{\varepsilon'} \cos \varphi}{\sqrt{\varepsilon' - \sin^2 \varphi} + \varepsilon' \cos \varphi} \quad (13)$$

Процессы отражения и преломления ЭМ волн на границе раздела сред



$$|T|^2 = N^2 \left[N^2 + \left(\frac{N^2 - 1}{2} \right)^2 \sin^2 \vartheta \right]^{-1} \quad (14)$$

$$\vartheta = (2\pi t / \lambda) \sqrt{\epsilon' - \sin^2 \varphi} \quad (15)$$

Рис.3

$$N_{\perp} = \frac{\cos \varphi}{\sqrt{\epsilon' - \sin^2 \varphi}} \quad (16) \quad N_{\parallel} = \frac{\epsilon' \cos \varphi}{\sqrt{\epsilon' - \sin^2 \varphi}} \quad (17)$$

$$R_{zn} = \frac{\cos \varphi - \sqrt{\epsilon'' - \sin^2 \varphi}}{\cos \varphi + \sqrt{\epsilon'' - \sin^2 \varphi}} \quad (18)$$

$$R_{en} = -\frac{\epsilon'' \cos \varphi - \sqrt{\epsilon'' - \sin^2 \varphi}}{\epsilon'' \cos \varphi + \sqrt{\epsilon'' - \sin^2 \varphi}} \quad (19)$$

$$\tilde{S} = \frac{\iint_D \exp(-2jkx \sin 2\varphi) dx dy}{\iint_D dx dy} \begin{bmatrix} R_{zn} & 0 \\ 0 & R_{en} \end{bmatrix} \quad (20)$$

$$R_{en} = R_{zn} \frac{\cos 2\varphi - R_{zn}}{1 - R_{zn} \cos 2\varphi} \quad (21)$$

$$\xi^{\mathcal{E}} = \frac{\sin^2 \varphi}{\cos \varphi \sqrt{\epsilon' - \sin^2 \varphi}}, \text{ при } \varphi \leq \varphi_B \quad (22)$$

$$\xi^{\mathcal{E}} = \frac{\cos \varphi \sqrt{\epsilon' - \sin^2 \varphi}}{\sin^2 \varphi} \text{ при } \varphi > \varphi_B \quad (23)$$

Процессы отражения и преломления ЭМ волн на границе раздела сред

$$g = \frac{R_{gn}}{R_{zn}} \quad (24)$$

$$R_{zn} = \frac{\cos 2\varphi - g}{1 - g \cos \varphi} \quad (25)$$

$$R_{gn} = g \frac{\cos 2\varphi - g}{1 - g \cos \varphi} \quad (26)$$

$$\xi = \frac{1 - g}{1 + g}, \text{ при } \varphi \leq \varphi_B \quad (27)$$

$$\xi = \frac{1 + g}{1 - g}, \text{ при } \varphi > \varphi_B \quad (28)$$

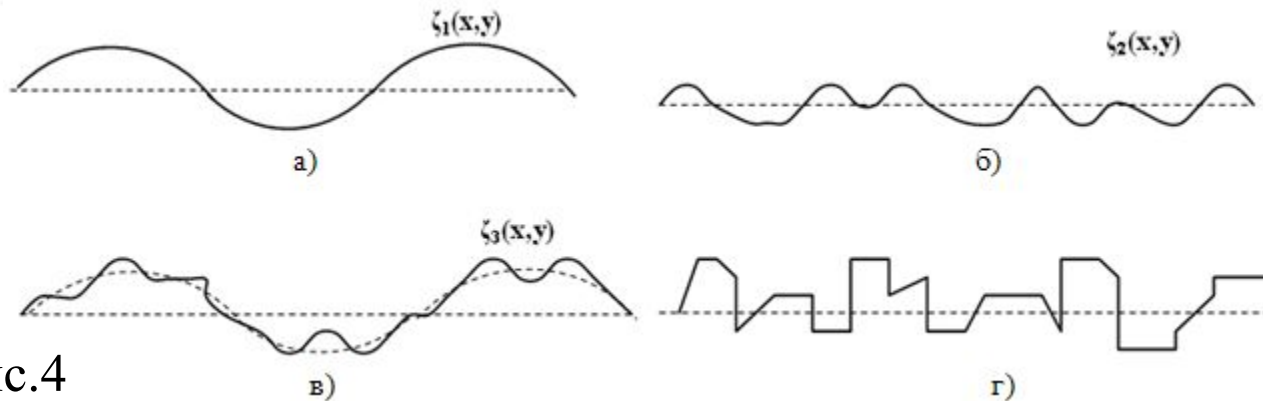


Рис.4

$$S = \begin{bmatrix} \frac{a_2 n_z^2}{1 - a_2 n_z^2} (\eta^2 R_{gn} - a_1^2 R_{zn}) & \frac{a_1 a_2 n_z^2 \eta}{1 - a_2 n_z^2} (R_{zn} + R_{gn}) \\ \frac{a_1 a_2 n_z^2 \eta}{1 - a_2 n_z^2} (R_{gn} + R_{zn}) & \frac{a_2 n_z^2}{1 - a_2 n_z^2} (a_1^2 R_{gn} - \eta^2 R_{zn}) \end{bmatrix} \quad (29)$$

Процессы отражения и преломления ЭМ волн на границе раздела сред

$$a_1 = \sin \varphi - \tilde{\gamma} \cos \varphi \quad (30)$$

$$a_2 = \cos \varphi + \tilde{\gamma} \sin \varphi \quad (31)$$

$$\eta = \frac{d\zeta}{dx} \sin \varphi - \frac{d\zeta}{dy} \cos \varphi \quad (32)$$

$$\tilde{\gamma} = \frac{d\zeta}{dx} \cos \varphi + \frac{d\zeta}{dy} \sin \varphi \quad (33)$$

$$n_z = \left[1 + \left(\frac{d\zeta}{dx} \right)^2 + \left(\frac{d\zeta}{dy} \right)^2 \right]^{-0.5} \quad (34)$$

$$R = \frac{Z_m - Z_0}{Z_m + Z_0} \quad T = \frac{2Z_m}{Z_m + Z_0} \quad (35)$$

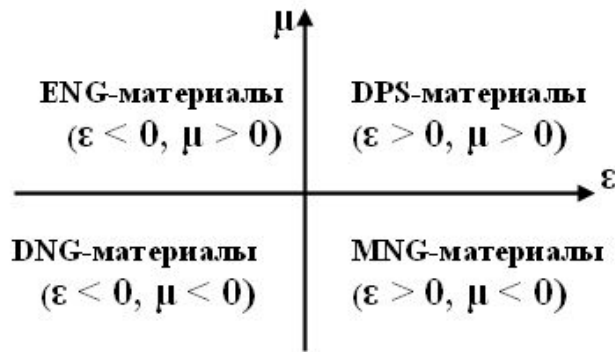
$$Z_m = (1 + j) \sqrt{0.5 \mu \omega \sigma_e^{-1}} \quad (36)$$

$$Q_s = (z_s \sigma_s)^{-1} \quad (37)$$

$$K_{\perp} = \frac{1}{2Q_s \cos \varphi} \quad (38)$$

$$K_{\parallel} = \frac{\cos \varphi}{2Q_s} \quad (39)$$

Метаматериалы для устройств микроволновой и терагерцевой техники



DPS - double positive, дважды ПОЗИТИВНЫЕ

SNG - single negative, моноНЕГАТИВНЫЕ

ENG (ε-негативные, $\varepsilon < 0$ и $\mu > 0$),

MNG (μ-негативные, $\varepsilon > 0$ и $\mu < 0$).

Рис.1

$$[\mathbf{kE}] = (\omega/c)\mu\mathbf{H}, \quad [\mathbf{kH}] = -(\omega/c)\varepsilon\mathbf{E}. \quad (1)$$

right- и left-handed materials - RHM (правые) и LHM (левые)

$$v_\phi = \frac{\omega}{k} \quad (2)$$

$$v_\phi = \frac{c}{n} \quad (3)$$

$$v_{gp} = \frac{d\omega}{dk} \quad (4)$$

$$\varepsilon(\omega) = 1 - \frac{\omega_{pe}^2}{\omega^2 + i\omega\zeta} \quad (5)$$

$$\omega_{pe} = \sqrt{\frac{2\pi c^2}{p^2 \ln(p/a)}} \quad (6)$$

$$\zeta = \frac{2\omega_{pe}^2 \varepsilon_0}{\pi\sigma} \left(\frac{p}{a}\right)^2 \quad (7)$$

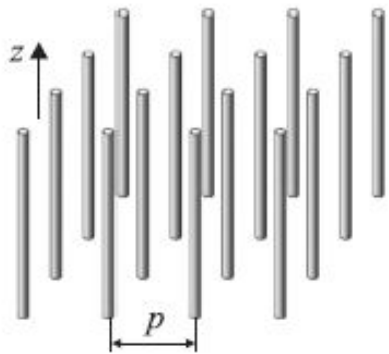


Рис.2

Метаматериалы для устройств микроволновой и терагерцевой техники

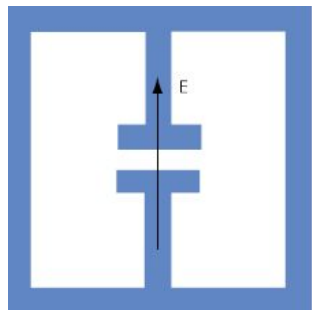


Рис.3



Рис.4

$$\mu(\omega) = 1 - \frac{F\omega^2}{\omega^2 - \omega_{0m}^2 + i\omega\zeta} \quad (8)$$

$$\omega_{0m} = c \sqrt{\frac{3p}{\pi \ln(2wa^3 / \delta)}} \quad F = \pi \frac{a^2}{p^2} \quad \zeta = \frac{2pR_1}{a\mu_0} \quad (9)$$

DNG - double negative, $\epsilon < 0$ и $\mu < 0$ – пример $\text{La}_{2/3}\text{Ca}_{1/3}\text{Mn}_3$



Рис.5

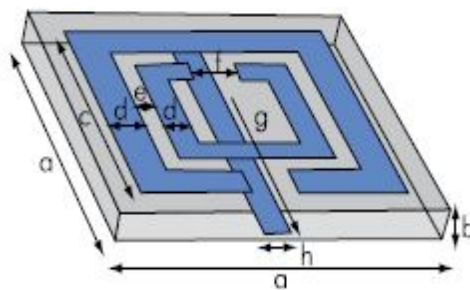
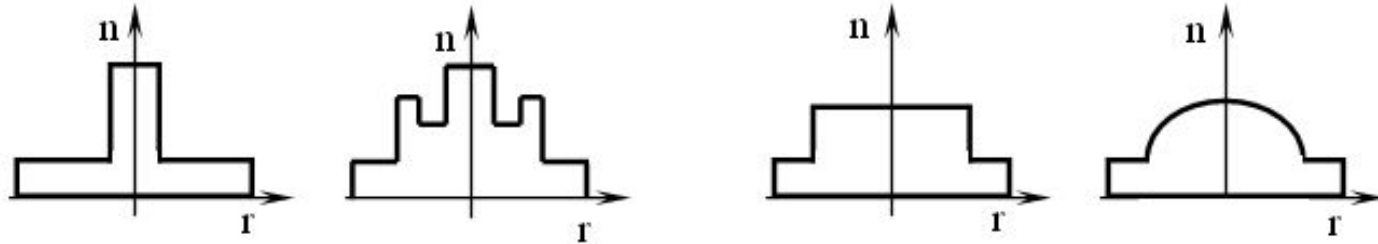


Рис.6

Электромагнитные волны в оптических системах



$$\Phi = \arcsin(NA); \quad NA = \sqrt{(n_1^2 - n_2^2)} \quad (1)$$

$$V = 2\pi \frac{a}{\lambda} \sqrt{n_1^2 - n_2^2} \quad (2)$$

$$n^2 - 1 = \frac{1.6961663 \cdot \lambda^2}{\lambda^2 - (0.0684043)^2} + \frac{0.4079425 \cdot \lambda^2}{\lambda^2 - (0.1162414)^2} + \frac{1.8974794 \cdot \lambda^2}{\lambda^2 - (9.896161)^2} \quad (3)$$

$$\tau = \sqrt{\tau_0^2 + \tau_1^2 + \tau_2^2}$$

Значение наименьших потерь в ОВ: $\alpha = 0,2; 0,5$ и 2 дБ/км для $\lambda = 1,55; 1,3$ и $0,85$ мкм соответственно. Воздействие ионизирующего излучения приводит к увеличению α .

При совместном рассмотрении эффектов поглощения и дисперсии в ОВ, появляются два предпочтительных значения λ : $1,55$ мкм (минимальное затухание) и $1,3$ мкм (минимальная дисперсия). Первая применяется в одномодовых ОВ, возбуждаемых лазером. Вторая – в многомодовых градиентных ОВ, возбуждаемых светодиодами.

Распространение электромагнитных волн в ступенчатых оптических волокнах

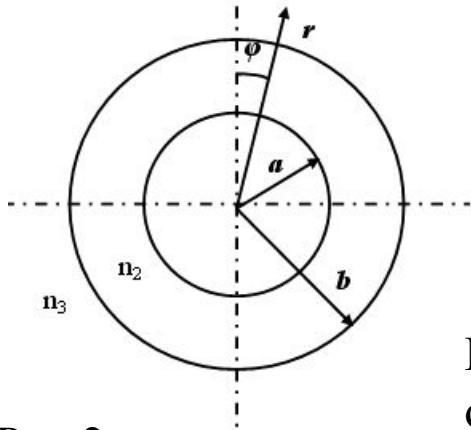


Рис.2

$$\text{rot}E = -\frac{\partial B}{\partial t} \quad \text{rot}H = \frac{\partial D}{\partial t} \quad (4)$$

$$\text{div}D = 0 \quad \text{div}B = 0 \quad (5)$$

Поскольку волна распространяется по оси z, примем общую для всех составляющих поля зависимость от z в виде: $H_z \exp(-j\beta z)$ и $E_z \exp(-j\beta z)$.

$$(\nabla_{\perp}^2 + k_{rn}^2) \begin{Bmatrix} E_z \\ H_z \end{Bmatrix} = 0 \quad (6) \quad \nabla_{\perp}^2 = \frac{1}{r} \frac{\partial}{\partial r} \left(r \frac{\partial}{\partial r} \right) + \frac{1}{r^2} \frac{\partial^2}{\partial \phi^2} \quad (7)$$

$$k_n = \omega n (\epsilon_0 \mu_0)^{0.5};$$

$$k_{rn}^2 = n^2 k^2 - \beta^2$$

$$k = \omega (\epsilon_0 \mu_0)^{0.5};$$

$$n = \begin{cases} n_1 \\ n_2 \\ n_3 \end{cases} \quad k_{rn} = \begin{cases} k_{r1}, & r < a \\ k_{r2}, & a < r < b \\ k_{r3}, & r > b \end{cases} \quad (8)$$

$$Z_m(k_{rn} r) \begin{cases} \cos m\phi \\ \sin m\phi \end{cases}$$

Распространение электромагнитных волн в ступенчатых оптических волокнах

$$\left. \begin{aligned} E_{z1} &= A_E J_m(k_{r1}r) \cos m\phi \\ H_{z1} &= A_H J_m(k_{r1}r) \sin m\phi \end{aligned} \right\} r < a \quad (9)$$

$$\left. \begin{aligned} E_{z3} &= F_E K_m(jk_{r3}r) \cos m\phi \\ H_{z3} &= F_H K_m(jk_{r3}r) \sin m\phi \end{aligned} \right\} r > b \quad (11)$$

$$\left. \begin{aligned} E_{z2} &= [C_E I_m(jk_{r2}r) + D_E K_m(jk_{r2}r)] \cos m\phi \\ H_{z2} &= [C_H I_m(jk_{r2}r) + D_H K_m(jk_{r2}r)] \sin m\phi \end{aligned} \right\} r < a < b \quad (10)$$

$$E_r = -\frac{j}{k_{rn}^2} \left[\beta \frac{\partial E_z}{\partial r} + \frac{\omega \mu_0}{r} \frac{\partial H_z}{\partial \phi} \right], \quad (12) \quad E_\phi = -\frac{j}{k_{rn}^2} \left[\frac{\beta}{r} \frac{\partial E_z}{\partial \phi} - \omega \mu_0 \frac{\partial H_z}{\partial r} \right], \quad (13)$$

$$H_r = \frac{j}{k_{rn}^2} \left[\frac{\omega \varepsilon_0 n^2}{r} \frac{\partial E_z}{\partial \phi} - \beta \frac{\partial H_z}{\partial r} \right], \quad (14) \quad H_\phi = -\frac{j}{k_{rn}^2} \left[\omega \varepsilon_0 n^2 \frac{\partial E_z}{\partial r} + \frac{\beta}{r} \frac{\partial H_z}{\partial \phi} \right]. \quad (15)$$

$$\left. \begin{aligned} E_{\phi a} &= E_{\phi b}; E_{za} = E_{zb} \\ H_{\phi a} &= H_{\phi b}; H_{za} = H_{zb} \end{aligned} \right\} \quad (16)$$

$$\left. \begin{aligned} E_{\phi b} &= E_{\phi 0}; E_{zb} = E_{z0} \\ H_{\phi b} &= H_{\phi 0}; H_{zb} = H_{z0} \end{aligned} \right\} \quad (17)$$

Распространение электромагнитных волн в ступенчатых оптических волокнах

$$u = k_{r1}a = a(n_1^2 k^2 - \beta^2)^{0.5} \quad (18) \quad v = jk_{r2}a = a(\beta^2 - n_2^2 k^2)^{0.5} \quad (19)$$

$$w = jk_{r3}a = a(\beta^2 - n_3^2 k^2)^{0.5} \quad (20) \quad V^2 = u^2 + v^2 \quad (21)$$

$$B = \frac{(\beta/k)^2 - n_2^2}{n_1^2 - n_2^2} \quad (22) \quad Y_m = \frac{J'_m(u)}{uJ_m(u)} ; \quad U_m = \frac{K'_m(wp)}{wpK_m(wp)} \quad (23)$$

$$\left. \begin{aligned} W_0 &= I_m(vp)K_m(v) - I_m(v)K_m(vp) \\ W_1 &= I_m(v)K'_m(vp) - I'_m(vp)K_m(v) \\ W_2 &= I_m(vp)K'_m(v) - I'_m(v)K_m(vp) \\ W_3 &= I'_m(vp)K'_m(v) - I'_m(v)K'_m(vp) \end{aligned} \right\} \quad (24)$$

$$Z_1^{(H)} = Y_m \left(1 + vpU_m \frac{W_0}{W_1} \right) \quad (25)$$

$$Z_2^{(H)} = \frac{1}{W_1} \left(pU_m W_2 - \frac{W_3}{v} \right) \quad (26)$$

$$Z_1^{(E)} = Y_m \left(1 + \left[\frac{n_3}{n_2} \right]^2 \cdot vpU_m \frac{W_0}{W_1} \right) \quad (27)$$

$$Z_2^{(H)} = \left(\left[\frac{n_3}{n_2} \right]^2 \cdot pU_m W_2 - \frac{W_3}{v} \right) W_1 \quad (28)$$

Распространение электромагнитных волн в ступенчатых оптических волокнах

$$B_3 = \frac{\left(\frac{\beta}{k}\right)^2 - n_3^2}{n_2^2 - n_3^2} \quad (29)$$

$$\begin{aligned} & (Z_1^{(H)} + Z_2^{(H)}) \cdot (n_1^2 Z_1^{(E)} + n_2^2 Z_2^{(E)}) = m^2 N^2 \left\{ Z_1^{(H)} Z_1^{(E)} \cdot (u^2 B Y_m)^{-2} + \right. \\ & \left. + W_0^{-2} \cdot (n^2 \nu p B_3 W_1)^2 \cdot \left[\left(Y_m + \frac{W_2}{\nu W_0} \right) \cdot \left(n_1^2 Y_m + n_2^2 \frac{W_2}{\nu W_0} \right) - \left(\frac{mN}{u^2 B} \right)^2 \right] - \frac{2}{B B_3 (u p \nu^2 W_1)^2} \right\} \quad (30) \end{aligned}$$

$$E_{Z1} = A_E J_m \left(\frac{ur}{a} \right) \cos m\varphi \quad (31)$$

$$H_{Z1} = A_H J_m \left(\frac{ur}{a} \right) \sin m\varphi \quad (32)$$

$$E_{r1} = -j \frac{a}{u} \left(\beta A_E J'_m \frac{ur}{a} + \omega \mu_0 \frac{ma}{ur} A_E J_m \frac{ur}{a} \right) \cos m\varphi \quad (33)$$

$$H_{r1} = -j \frac{a}{u} \left(\omega \varepsilon_0 n_1^2 \frac{ma}{ur} A_E J_m \frac{ur}{a} + \beta A_H J'_m \frac{ur}{a} \right) \sin m\varphi \quad (34)$$

$$E_{\varphi 1} = -j \frac{a}{u} \left(\frac{m\beta a}{ur} A_E J_m \frac{ur}{a} + \omega \mu_0 A_H J'_m \frac{ur}{a} \right) \sin m\varphi \quad (35)$$

$$H_{\varphi 1} = -j \frac{a}{u} \left(\omega \varepsilon_0 n_1^2 A_E J'_m \frac{ur}{a} + \frac{m\beta a}{ur} A_H J_m \frac{ur}{a} \right) \cos m\varphi \quad (36)$$

Распространение электромагнитных волн в ступенчатых оптических волокнах

$$E_{z2} = D_E K_m \left(\frac{vr}{a} \right) \cos m\varphi \quad (37) \quad H_{z2} = D_H K_m \left(\frac{vr}{a} \right) \sin m\varphi \quad (38)$$

$$E_{r2} = j \frac{a}{v} \left(\beta D_E K'_m \frac{vr}{a} + \omega \mu_0 \frac{ma}{vr} D_E K_m \frac{vr}{a} \right) \cos m\varphi \quad (39)$$

$$H_{r2} = j \frac{a}{v} \left(\omega \varepsilon_0 n_2^2 \frac{ma}{vr} D_E K_m \frac{vr}{a} + \beta D_H K'_m \frac{vr}{a} \right) \sin m\varphi \quad (40)$$

$$E_{\varphi 2} = -j \frac{a}{v} \left(\frac{m\beta a}{vr} D_E K_m \frac{vr}{a} + \omega \mu_0 D_H K'_m \frac{vr}{a} \right) \sin m\varphi \quad (41)$$

$$H_{\varphi 2} = j \frac{a}{v} \left(\omega \varepsilon_0 n_2^2 D_E K'_m \frac{vr}{a} + \frac{m\beta a}{vr} D_H K_m \frac{vr}{a} \right) \cos m\varphi \quad (42)$$

$$\frac{D_E}{A_E} = \frac{D_H}{A_H} = \frac{J_m(u)}{K_m(v)} \quad (43) \quad \frac{A_E}{A_H} = -(Y_m + X_m) \sqrt{\frac{\mu_0}{\varepsilon_0}} u^2 B(mN)^{-1} \quad (44)$$

$$(Y_m + X_m)(n_1^2 Y_m + n_2^2 X_m) = \frac{m^2 N^2}{(u^2 B)^2} \quad (45) \quad Y_m = -\frac{n_1^2 + n_2^2}{2n_1^2} X_m \boxtimes \left[\left(\frac{n_1^2 - n_2^2}{2n_1^2} X_m \right)^2 + \frac{m^2 N^2}{n_1^2 (u^2 B)^2} \right]^{0,5} \quad (46)$$

Распространение электромагнитных волн в ступенчатых оптических волокнах

$$Y_m = \pm \frac{J_m \boxtimes 1(u)}{uJ_m(u)} \boxtimes \frac{m}{u^2} \quad (47)$$

$$\frac{J_{m-1}(u)}{J_m(u)} = -\frac{n_1^2 + n_2^2}{2n_1^2} uX_m + \left\{ \frac{m}{u} - u \left[m^2 \left(\frac{1}{u^2} + \frac{1}{v^2} \right) \times \left(\frac{1}{u^2} + \frac{n_2^2}{n_1^2} \frac{1}{v^2} \right) + \left(\frac{n_1^2 - n_2^2}{2n_1^2} X_m \right)^2 \right]^{0,5} \right\} \quad (48)$$

$$\frac{J_{m+1}(u)}{J_m(u)} = \frac{n_1^2 + n_2^2}{2n_1^2} uX_m + \left\{ \frac{m}{u} - u \left[m^2 \left(\frac{1}{u^2} + \frac{1}{v^2} \right) \times \left(\frac{1}{u^2} + \frac{n_2^2}{n_1^2} \frac{1}{v^2} \right) + \left(\frac{n_1^2 - n_2^2}{2n_1^2} X_m \right)^2 \right]^{0,5} \right\} \quad (49)$$

$$x_1 \cong -v^2 + \ln\left(\frac{2}{\gamma v}\right) \quad (50) \quad \ln \gamma - \text{постоянная Эйлера} \quad \frac{J_0(u)}{uJ_1(u)} = \frac{2n_1^2}{n_1^2 + n_2^2} \ln \frac{2}{\gamma v} \quad (51)$$

$$u^2 = \frac{\left(1 + \frac{n_1^2}{n_2^2}\right)}{\ln\left(\frac{2}{\gamma v}\right)} \quad (52)$$

При $u \rightarrow 0$ и $v \rightarrow 0$ данное частное решение соответствует моде с нулевой отсечкой HE_{11} . Вместе с HE_{11} все остальные HE_{mg} – моды также являются решениями (48). Соответственно HE_{mg} – моды являются решениями (49).

Распространение электромагнитных волн в ступенчатых оптических волокнах

$$u = (V^2 - v^2)^{0.5} \approx V \qquad B = \frac{1.26}{V^2} \exp \left\{ - \frac{1 + \left(\frac{n_1}{n_2} \right)^2}{V} \frac{J_0(V)}{J_1(V)} \right\} \quad (53)$$

Нулевые приближения для $J_0(V)$ и $J_1(V)$ упрощают эту формулу с некоторой потерей точности:

$$B \cong \frac{1.26}{V^2} \exp \left\{ - [1 + n_1 / n_2]^2 \cdot V^{-2} \right\} \quad (54) \qquad Y_m + X_m = 0 \quad (55)$$

$$n_1^2 Y_m + n_2^2 X_m = 0 \quad (56)$$

Поперечно-электрические H_{0g} моды (TE) принадлежат семейству EH – мод, их характеристическое уравнение можно получить из (49) при $m = 0$:

$$\frac{J_1(u)}{uJ_0(u)} = - \frac{K_1(v)}{vK_0(v)} \quad (57)$$

$$\frac{J_1(u)}{uJ_0(u)} = - \frac{n_2^2}{n_1^2} \frac{K_1(v)}{vK_0(v)} \quad (58)$$

Распространение электромагнитных волн в ступенчатых оптических волокнах

E_{0g} – моды (TM) принадлежат семейству HE – мод. Вдали от отсечки любая E_{0g} мода становится вырожденной с H_{0g} – модой того же порядка n . По мере приближения к отсечке их вырождение снимается из-за отношения $(n^2 \neq n^2 \nu)$.

$$\frac{K_1(\nu)}{\nu K_0(\nu)} = \frac{1}{\nu^2 \ln\left(\frac{2}{\gamma\nu}\right)} \quad (59)$$

При $\nu \rightarrow 0$ оба уравнения приводят к виду: $J_0(u_c) = 0$, то есть условия отсечки для H_{0g} и E_{0g} мод совпадают.

